



Research Article

The Study of a Network Pharmacology of Signaling Pathways and Target Genes of Berberine Substance in the Treatment of Ovarian Cancer Using Bioinformatics Analysis

Sanaz Panahi -Alanagh, Yasaman Khamineh, Mahmood Talkhabi*

Department of Animal Sciences and Marine Biology, Faculty of Life Sciences and Biotechnology, Shahid Beheshti University, Tehran, Iran

Received: 2 April 2024

Accepted: 2 May 2024

DOI: 10.60833/ascij.2024.1106105

Abstract

Ovarian cancer is one of the fatal diseases in women, which is difficult to diagnose early. Therefore, there is an urgent need for chemical agents that can help control the development of ovarian cancer. Berberine, as a chemical substance, has many antioxidant and medicinal properties, and the anti-cancer role of this substance is under research. This study aims to analyze berberine target genes in ovarian cancer and to identify berberine signaling pathways using network pharmacology. In this study, the dataset GSE36668 was taken from the GEO database. Differentially expressed genes (DEGs) were analyzed by GEO2R with $adj\ p < 0.05$ and $|logFC| \geq 2$. Berberine-related targets were collected from SwissTargetPrediction and Pharm Mapper databases. The protein-protein interaction (PPI) network of berberine common targets and DEGs was drawn based on the data in the String database and using Cytoscape software. Common genes in berberine and ovarian cancer were used to investigate biological (BP), molecular (MF), and cellular pathways. The 10 hub genes selected in this study included ESR1, STAT1, CDK1, RXRA, PIK3CA, PGR, CCNB1, CHEK1, PIK3R1, and PIK3CG. It was also found that berberine target genes can play a role in cancer signaling pathways, chemical carcinogenesis, fluid shear stress and atherosclerosis, progesterone-mediated oocyte maturation, and PPAR signaling pathway. Based on these findings, berberine can affect the expression of genes that are effective in ovarian cancer and their protein products, and by affecting the biological pathways involved in this disease, it is a suitable solution for the treatment of ovarian cancer.

Keywords: Ovarian cancer, Berberine, Network pharmacology, DEGs, Protein-protein interaction network.

مقاله پژوهشی

مطالعه فارماکولوژی شبکه‌ای از مسیرهای سیگنال‌دهی و ژن‌های هدف ماده بربین در درمان سرطان تخدمان با استفاده از تجزیه و تحلیل بیوانفورماتیکی

ساناز پناهی الاق، یاسمون خمینه، محمود تلحابی*

گروه علوم جانوری و زیست‌شناسی دریا، دانشکده علوم و فناوری زیستی، دانشگاه شهید بهشتی، تهران، ایران

*مسئول مکاتبات: m_talkhabi@sbu.ac.ir

تاریخ پذیرش: ۱۴۰۳/۰۲/۲۷

تاریخ دریافت: ۱۴۰۳/۰۱/۱۴

DOI: 10.60833/ascij.2024.1106105

چکیده

سرطان تخدمان یکی از بیماری‌های کشنده در زنان می‌باشد که تشخیص زودهنگام آن مشکل است. بنابراین، نیاز فوری به عوامل شیمیایی وجود دارد که می‌تواند در کنترل توسعه سرطان تخدمان کمک کند. بربین، به عنوان یک ماده شیمیایی، دارای خواص آنتی اکسیدانی و دارویی متعددی است و نقش ضد سرطانی این ماده تحت پژوهش قرار دارد. هدف این مطالعه تجزیه و تحلیل ژن‌های هدف بربین در سرطان تخدمان و شناخت مسیرهای سیگنال‌دهی بربین با استفاده از فارماکولوژی شبکه است. در این مطالعه، مجموعه داده GSE36668 از پایگاه داده GEO گرفته شد. ژن‌های دارای بیان افتراقی (DEGs)، توسط GEO2R با adj $P < 0.05$ و $\geq 2 \log_{FC}$ مورد تجزیه و تحلیل قرار گرفت. اهداف مرتبط با بربین از پایگاه‌های داده Pharm Mapper و SwissTargetPrediction مشترک در بربین و سرطان تخدمان، در بررسی مسیرهای زیستی (BP) و مولکولی (MF) و سلولی استفاده شدند. ۱۰ ژن هاب انتخابی در این مطالعه شامل ESR1، PIK3CA، CCNB1، PGR، RXRA، CDK1، STAT1، CHEK1 و PIK3R1 بودند. همچنین مشخص شد ژن‌های هدف بربین می‌توانند در مسیرهای سیگنال‌دهی سرطان، سرطان زایی شیمیایی، تنش برشی سیال و آترواسکلروز، بلوغ تخمک با واسطه پروژسترون و مسیر سیگنالینگ PPAR نقش داشته باشند. بر اساس این یافته‌ها بربین می‌تواند بر بیان ژن‌های موثر در سرطان تخدمان و محصولات پروتئینی آنها اثر داشته و با اثر بر مسیرهای زیستی دخیل در این بیماری، راهکار مناسبی برای درمان سرطان تخدمان باشد.

کلمات کلیدی: سرطان تخدمان، بربین، فارماکولوژی شبکه، DEGs، شبکه برهمنکش پروتئین-پروتئین.

مقدمه

بافت‌شناسی مختلف تقسیم شود که دارای عوامل خطر، سلول‌های منشأ، ترکیبات مولکولی، ویژگی‌های بالینی و درمان‌های مختلف هستند. این عارضه که یک مشکل جهانی می‌باشد، معمولاً در مراحل پایانی تشخیص داده می‌شود و تاکنون هیچ استراتژی

سرطان تخدمان یک نوع سرطان از نوع کارسینوم است که در تخدمان‌ها شروع می‌شود. سرطان تخدمان هشتمین تومور شایع در اروپا و تومور زنان با بالاترین مرگ و میر است (۳۰). سرطان تخدمان یک بیماری منفرد نبوده و می‌تواند به حداقل پنج زیرگروه

پیشرفت تومورهای مقاوم به درمان می‌شوند، برای توسعه داروهای ضدسرطان، بسیار مهم است (۳۱). چندین مکانیسم که توسط آن بربرین از تکثیر رده‌های مختلف سلولی سلطانی جلوگیری می‌کند، گزارش شده است. مطالعات نشان داده‌اند که بربرین با کاهش بیان ژن MMP16، سبب مهار تکثیر و مهاجرت سلول‌های سلطانی تخدمان می‌شود (۲۴). همچنین این ماده می‌تواند به طور قابل توجهی سطح فعال‌کننده پلاسمینوژن نوع اوروکیناز و بیان ژن MMP-9 را در سلول‌های کبدی مهار کند، از تخریب ماتریکس خارج سلولی تومور، جلوگیری کند و در نتیجه از تهاجم و مهاجرت سلول‌های تومور جلوگیری به عمل آورد (۴۸). علاوه بر آن در میان مکانیسم‌های عمل بربرین، مرگ سلول‌های سلطانی با فعال شدن آپوپتوز یکی از مهم‌ترین مشخصه‌ها می‌باشد. مطالعات اخیر نشان داده است که بربرین اثرات ضدتوموری علیه سلطان ریه، سلطان دهانه رحم، سلطان کبد، لوسومی و سایر بدخیمی‌ها دارد (۳، ۱۴، ۲۳، ۳۳). با این حال، چگونگی عمل و مکانیسم‌های مولکولی ماده بربرین در مواجهه با سلطان تخدمان، به طور کامل شناخته نشده‌اند و نیازمند تحقیق بیشتر می‌باشد. بیوانفورماتیک با ایجاد بستری مناسب برای شناسایی بیومارکرهای غیرتهاجمی برای تشخیص سلطان و طراحی روش‌های درمانی شخص‌محور به کمک زیست‌شناسان آمده است. همچنین با کمک بیوانفورماتیک درک بیولوژی سلطان از طریق سیستم‌های هوشمند فراهم شده است (۳۷). فارماکولوژی شبکه یک رشته به سرعت در حال توسعه است که علم شبکه و فارماکولوژی را برای مطالعه تعاملات پیچیده بین داروها، ژن‌ها و بیماری‌ها ترکیب می‌کند (۵۰). یکی از اهداف فارماکولوژی شبکه ساخت و تجزیه و تحلیل شبکه‌های دارو-ژن-بیماری شناسایی اهداف دارویی جدید می‌باشد، تا به

غربالگری موثری برای آن وجود ندارد (۳۵). درمان‌های استانداردی که برای سلطان تخدمان به تازگی تشخیص داده شده‌اند، شامل جراحی کاهش سلولی و شیمی‌درمانی مبتنی بر پلاتین است. از نظر زیست‌شناسی کارسینوم تخدمان با تومورهای متاستازکننده از طریق گسترش لنفاوی متفاوت است؛ زیرا سلول‌های سلطانی تخدمان عمدتاً در حفره صفاقی منتشر می‌شوند و فقط به صورت سطحی تهاجمی هستند (۱۹). از آنجایی که تومورها به سرعت تکثیر می‌شوند، اندام‌های احتشایی را فشرده می‌کنند و فقط به طور موقت حساس به شیمی‌درمانی می‌باشند، این نوع سلطان یک بیماری بسیار کشنده است و نرخ درمان آن تنها ۳۰ درصد است پس بنابراین نیازمند روش‌های درمانی نوین می‌باشد (۲۲). مطالعات آزمایشگاهی بسیاری نشان داده‌اند که بربرین می‌تواند یک داروی ضدسلطان بالقوه باشد. در میان چندین متابولیت ثانویه گیاهی، آلالکالوئیدها دارای خواص دارویی متنوعی هستند (۲۵). بربرین یک آلالکالوئید کواترنری ایزوکینولین است که از بسیاری از انواع گیاهان دارویی مانند زردچوبه هندی یا گیاه خوک *Berberis*, (*Hydrastis canadensis*)، *Berberis aristata*، *japonica* و گیاه *Phellodenndron chinense* Schneid فلودندرن چوب پنبه (*Phellodendron amurense*) جدا شده است. بربرین دارای اثرات آنتی‌اکسیدانی و خواص دارویی متعدد است (۷). مطالعات آزمایشگاهی با استفاده از رده‌های سلولی سلطانی نشان داده‌اند که بربرین از تکثیر و مهاجرت سلول‌های سلطانی جلوگیری می‌کند و آپوپتوز را در انواع رده‌های سلول سلطانی الفا می‌کند و باعث توسعه بیشتر مشتقات خود برای پیشگیری و درمان سلطان مبتنی بر دارو می‌گردد (۱۰، ۱۱، ۲۶، ۲۷). جستجو برای داروهای جدیدی که باعث جلوگیری از

شناسایی ژن‌های هدف بالقوه در سرطان تخمدان: ژن‌های هدف مرتبط با سرطان تخمدان از پایگاه داده (<https://www.ncbi.nlm.nih.gov/geo>) GEO گرفته شد. کلید واژه به عنوان "سرطان تخمدان" و گونه به Homo sapiens تنظیم شد. مجموعه داده GSE36668 شامل چهار نمونه بافت سرطان تخمدان و چهار نمونه سالم از پلتفرم GPL570 (آرایه ژنوم انسانی 2.0 Plus U133) انتخاب شد. ژن‌های دارای $|adj\text{-}Pvalue| \geq 2$ و $|logFC| \geq 2$ مورد تجزیه و تحلیل قرار گرفتند (۸).

ساخت شبکه برهمکنش پروتئین-پروتئین (PPI): به منظور اشتراک‌گیری بین اهداف ژنی برابرین و ژن‌های دارای بیان افتراقی در سرطان تخمدان، از نرم‌افزار آنلاین Venn Bioinformatics & Evolutionary Genomics (http://bioinformatics.psb.ugent.be/webtoo_ls/Venn/) استفاده شد و نمودار ون ترسیم گردید (۱۳). سپس شبکه PPI برای این اهداف ژنی مشترک در پایگاه داده STRING ساخته شد. تجزیه و تحلیل (<https://string-db.org>) ۱۰ ژن هاب در شبکه CytoScape در CytoHubba انجام گرفت (۳۸، ۳۹). نمودار حرارتی برای اهداف ژنی مشترک برابرین و سرطان تخمدان ترسیم گردید. همچنین نمودار همبستگی برای ۱۰ ژن هاب نیز رسم شد.

تجزیه و تحلیل آنتولوژی ژنی و مسیرهای بالقوه: بخش‌های آنتولوژی ژنی (Gene Ontology; GO) و پایگاه کیوتو از ژن‌ها و ژنوم‌ها Kyoto (Encyclopedia of Genes and Genomes; KEGG) از پایگاه داده آنلاین EnrichR (<https://maayanlab.cloud/Enrichr/>)، به ترتیب جهت بررسی فرآیندهای زیستی Biological

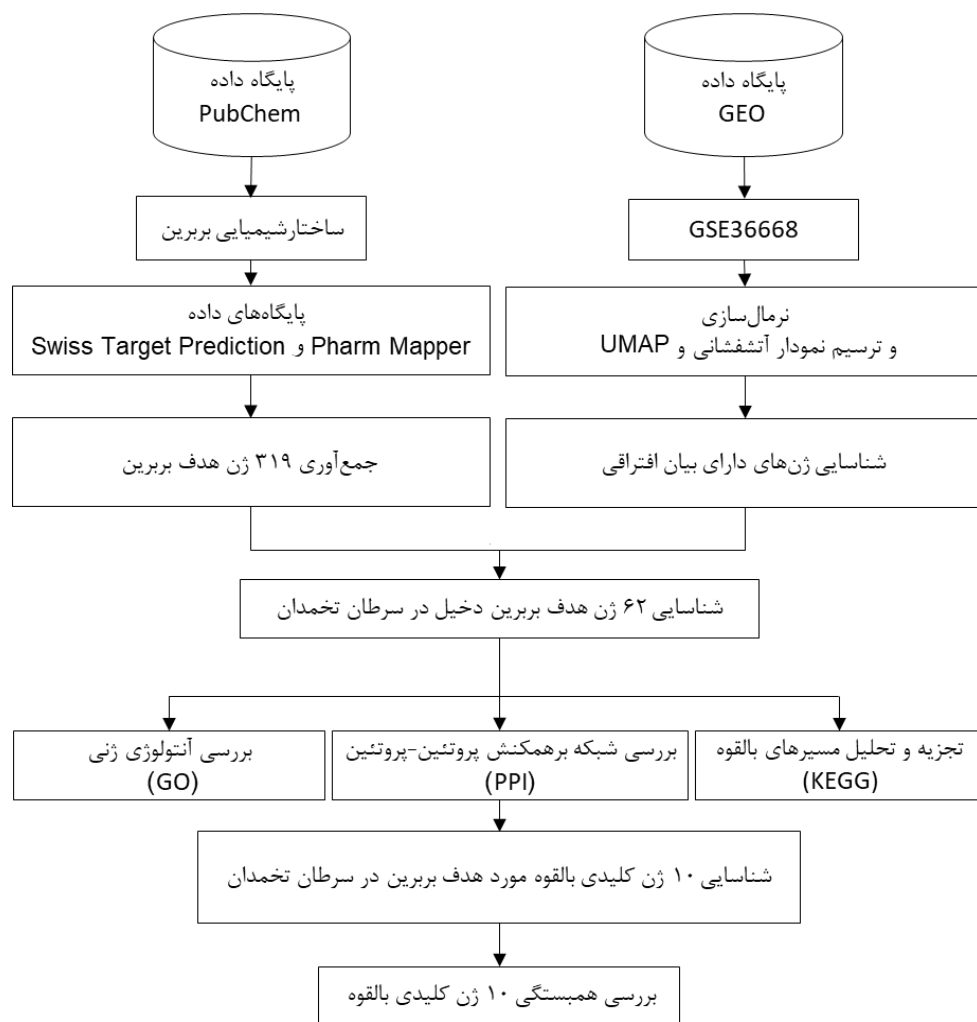
درک مکانیسم‌های عمل دارو و پیش‌بینی اثربخشی و اثرات جانبی دارو کمک کند. فارماکولوژی شبکه بر این اصل استوار است که داروها به صورت مجزا عمل نمی‌کنند، بلکه با اهداف و مسیرهای متعدد در بدن تعامل دارند. با مطالعه این فعل و افعالات، فارماکولوژی شبکه می‌تواند درک جامع‌تری از عملکرد دارو ارائه دهد و فرصت‌های درمانی جدید را شناسایی کند (۴۹). همچنین برای درک مکانیسم‌های اثر دارو با مطالعه برهمکنش‌های بین داروها و ژن‌ها، روش تجزیه و تحلیل فارماکولوژی شبکه‌ای می‌تواند مسیرهای کلیدی را که در عملکرد دارو دخیل می‌باشند شناسایی کند. سپس از این اطلاعات می‌توان برای تولید داروهای جدیدی که مؤثرتر می‌باشد و عوارض جانبی کمتری دارند، استفاده کرد (۲۱). هدف از این مطالعه تجزیه و تحلیل ژن‌های سرطان تخمدان و مسیرهای سیگنال‌دهی برابرین با استفاده از فارماکولوژی شبکه است می‌باشد. شناسایی ژن‌های هدف و مسیرهای سیگنالی مرتبط با برابرین در سرطان تخمدان می‌تواند پیامدهای مهمی برای توسعه درمان‌های جدید و پیشگیری از این بیماری کشنده داشته باشد.

مواد و روش‌ها

روش کار: در این مطالعه از پایگاه‌های داده مختلف، تجزیه و تحلیل‌های گوناگون و ابزارهای بیوانفورماتیکی متفاوتی استفاده شده است (شکل ۱). شناسایی اهداف ژنی برابرین: اهداف ژنی مرتبط با SwissTargetPrediction برای داده پایگاه‌های (<http://www.swisstargetprediction.ch/>) PharmMapper (<http://www.lilab-ecust.cn/pharmmapper/>) جمع‌آوری شدند (۹، ۱۷). ساختار شیمیایی ذخیره شده به عنوان فایل‌های "sdf" از PubChem (<https://pubchem.ncbi.nlm.nih.gov/>) جمع‌آوری شد (۱۷).

برای شناسایی گره‌های کلیدی (مانند اهداف دارویی یا ژن‌های بیماری) و مسیرهایی که نقش مهمی در سیستم دارند، تجزیه و تحلیل شدند. این تجزیه و تحلیل به درک مکانیسم‌های اثر ماده و پاتوفیزیولوژی بیماری کمک می‌کند.

Cellular Component; BP Mollecular) و عملکردهای مولکولی (CC Function; MF بالقوه استفاده گردید (۲۰). از ابزار آنلاین SRplot برای (https://www.bioinformatics.com.cn/) تجسم داده‌ها استفاده شد (۴۰). ساختارهای شبکه



شکل ۱- روش کار، پایگاه‌های داده و آنالیزهای انجام شده در مطالعه

Fig 1. Flowchart, databases and analyzes performed in the study

نتایج

تکراری، ۳۱۹ ژن هدف منحصر به فرد به عنوان اهداف برابرین باقی ماندند (جدول ۱). تعداد ژن‌های دارای بیان افتراقی (DEGs) جمع‌آوری شده از مجموعه داده GSE36668 مرتبط با سرطان تخمدا، پس از نرم‌افزاری ۵۸۸۹ مورد بود. در نمودار

استخراج ژن‌های هدف برابرین در سرطان تخمدا: در این مطالعه، ۱۱۲ ژن هدف برابرین از پایگاه داده Swiss Target Prediction (احتمال اطمینان < ۰) و ۲۲۰ ژن هدف از پایگاه داده PharmMapper به Dst آمد. پس از ادغام لیست‌ها و حذف موارد

ژن‌های هدف بالقوه بربرین در سرطان تخدمان با بررسی الگوهای همبستگی برای ژن‌های فیلتر شده پس از بررسی نرم‌مال بودن داده‌ها با استفاده از GraphPad Prism نسخه ۱۰ ترسیم شد (شکل ۳-D). این نرم‌مال نشان داد که ژن‌های ESR1، STAT1، CDK1، RXRA، CCNB1 و CHEK1 باهم الگوی همبستگی داشتند؛ در حالی که ژن‌های PIK3CA و PIK3R1 مثبت و با ژن‌های PGR و PIK3R1 مثبت و با ژن‌های PIK3CG الگوی همبستگی منفی داشتند؛ در حالی که یکدیگر الگوی همبستگی مثبت داشتند.

تحلیل آنتولوژی ژنی (GO): لیست ژن‌های مشترک بیانی جداسازی شده در مراحل قبلی وارد پایگاه داده Enrichr جهت تحلیل GO شدند و بعد از مقایسه با لیست‌های ژنی طبقه‌بندی شده در این پایگاه‌های داده به بررسی GO آن‌ها در سه بخش اصلی BP، CC و MF پرداخته شد، که علاوه بر این پایگاه داده، از برخی نرم‌افزارها و پایگاه داده‌های دیگر در راستای بررسی GO نیز استفاده گردید. نتایج حاصل از بررسی لیست ژن‌های مشترک در این فراتحلیل بیانگر نقش زیستی ژن‌ها مشترک بربرین با سرطان تخدمان با فرایندهای مرتبط با رونویسی مانند آغاز رونویسی از پروموتور RNA پلیمراز II، شروع رونویسی الگوی DNA و همچنین مسیرهای سیگنال‌دهی گیرنده داخل سلولی، تنظیم مثبت سیگنال‌دهی فسفاتیدیلوئیسیتول-۳-کیناز و فسفریلاسیون پروتئین مرتبط بودند. با انجام فرایند آنتولوژی و مشاهده نتایج حاصل از آن در بعد سلولی نتایج حاصله بررسی لیست ژن‌های مشترک، بیانگر نقش سلولی ژن‌ها در ارتباط با فرایندهای مربوط به گروه کمپلکس انتقال فسفر، کلک‌های غشایی پلاسمایی، کمپلکس فسفاتید یلوئیسیتول-۳-کیناز، گرانول‌های ماستسل، میکروتوبول‌های دوکی و کمپلکس پروتئین-کیناز

جعبه‌ای، پس از نرم‌مال‌سازی تمام نمونه‌های سالم و سرطانی در یک ردیف قرار گرفتند، همچنین در Uniform Manifold Approximation and Projection (UMAP) نمونه‌های سالم و سرطان تخدمان به خوبی از یکدیگر جدا شدند (شکل ۲-A). در مجموع، ۶۲ هدف مشترک با استفاده از نرم‌مال ون برای هر دو لیست ژنی به دست آمد (شکل ۲-B، جدول ۱). در بررسی ارتباط ژن‌های مورد هدف بربرین در سرطان تخدمان نشان داده شد که ژن‌های دارای بیان افتراقی معنادار در نرم‌مال حرارتی به خوبی جدا شده‌اند، مبتنی بر اینکه ژن‌های هدف مورد مطالعه دارای اختلاف بیان در نمونه‌های نرم‌مال و سرطانی بوده‌اند (شکل ۲-C).

تجزیه و تحلیل شبکه PPI: شبکه PPI با آستانه اطمینان بالا ۰/۷ برای ۶۲ ژن مشترک بربرین با سرطان تخدمان، شامل ۵۹ گره و ۱۹۲ یال، با میانگین درجه گره ۶، قطر شبکه ۳ و تعداد متوسط ۱۸.۰۷۲ همسایه برای ژن‌های مشترک بود و همچنین شبکه PPI برای ۳۱۹ ژن هدف بربرین شامل ۲۵۱ گره و ۲۲۶۸ یال بود (شکل ۳-A-B). در شبکه PPI مشخص است که ژن ESR1 و STAT1 در مرکز شبکه دارای بیشترین درجه اتصال گره می‌باشند. ESR1 دارای ۲۵ و STAT1 دارای ۲۰ برهمنکنش غیرجهت‌دار با اهداف مشترک بربرین و سرطان تخدمان می‌باشد.

شناسایی ژن‌های هاب هدف بربرین در سرطان تخدمان: ژن‌های هاب توسط افزونه CytoHubba با فیلتر درجه بیان محاسبه شدند. نتایج شامل ۱۰ ژن هاب به ترتیب ESR1، STAT1، RXRA، CDK1، CHEK1، CCNB1، PGR، PIK3CA و PIK3CG می‌باشند (شکل ۳-C). درجه اتصال ۱۰ ژن هاب که بیشترین درجه اتصال را داشته‌اند؛ در جدول ۲ آورده شده است. در ادامه بررسی همبستگی این

بررسی مسیرهای سیگنال‌دهی مرتبط با بربرین در سرطان تخدمان: بررسی مسیرهای سیگنال‌دهی در مسیر KEGG و نتایج حاصل از لیست ژن‌های مشترک در فراتحلیل نشان می‌دهد که نقش ۶۲ ژن هدف مشترک به دست آمده، در فرایندهای مربوط به مسیر سیگنال‌دهی سرطان و همچنین سرطان زایی شیمیایی، تنش برشی سیال و آتروواسکلروز، بلوغ تحکمک با واسطه پروژسترون و مسیر سیگنالینگ PPAR می‌باشد، که دارای درصد معنی‌داری بالاتری نسبت به بقیه بودند (جدول ۳).

بودند. نتایج بعد مولکولی نیز نشان داد، ژن‌های هدف در ارتباط با فرایندهای مربوط به فعالیت‌های انتقالی مانند فعالیت گیرنده‌های هسته‌ای، فعالیت فاکتور رونویسی فعال شده با لیگاند، فعالیت پروتئین سرین-ترئونین کیناز، فعالیت هورمون استروئیدی و فرایندهای چسبندگی اتصال کربوکسیلیک اسید، اتصال اسید آلی، اتصال مونوکربوکسیلیک اسید، اتصال کواکتیواتور رونویسی و اتصال رونویسی می‌باشند (شکل ۴).

جدول ۱- ژن‌های هدف بربرین و ژن‌های هدف بربرین دخیل در سرطان تخدمان

Table 1. Berberine target genes and berberine target genes involved in ovarian cancer

| | |
|---|--|
| Berberine target genes | TTHY, P62937, CAH2, ESR1, AK1C2, P11511, STS, APOA2, BMP2, NR1H2, RXRA, ADA17, CFAD, CHLE, ANDR, PIM1, P62508, BRAF1, NOS3, PDE4D, SHBG, P00390, SRC, P00517, CCNA2, MMP13, PRGR, NONE, ALBU, THR, ANXA5, P11586, Q16539, P14061, DHO, ALDR, P28845, P24941, Q06520, MCR, TYSY, Q62986, MMP12, HS90A, Q04828, P35968, P00326, P53041, PTN1, VTDB, DUS6, PDE3B, PDPK1, EGFR, AK1C3, CHK1, CASP7, PDE4B, FA10, PTN11, P11142, P49638, MET, XIAP, PH4H, Q08881, EPHB4, CTNA1, ADHX, P04179, MK10, KIF11, MMP8, PDK2, PTGD2, MMP3, NR1H3, P49841, CDK6, PDE5A, HDAC8, DPP4, PLGF, HYES, PYRD, P49137, P55263, P08263, O14965, Q13126, AOFB, AMPM2, NR1I2, FKB1A, P01343, PPARG, FGFR1, ERBB4, JAK3, LCK, O00204, ST1E1, RENI, CATG, NR1H4, S10A9, P14555, P78536, FABPH, NEP, Q14541, ACADM, P10827, Q16772, IGF1R, O43617, P10828, GCR, FABP6, TIE2, Q93088, HCK, FABP4, RARG, DPEP1, IL2, P20132, O43252, TGFR1, FAK1, GSTP1, A1AT, P16442, RARA, DYR, TGM3, RET4, TPH1, MP2K1, FPPS, RARB, SETD7, VDR, P36873, P22830, MMP2, P29373, P35520, ZAP70, BACE1, P00519, NGAL, CATS, CCL5, Q9HAN9, NSR, ELNE, CATK, HMDH, GSTM1, KPCT, LKHA4, FABP7, RXRB, KTHY, STAT1, DCK, HMOX1, CMA1, CP2C9, CP2C8, Q92831, GSTM2, Q9UBX1, Q96CA5, HINT1, P00492, TRYB2, FKB1B, RORA, G6P, P00480, P06730, FOLH1, OAT, Q9NPB1, CASP1, O14717, O15382, DUT, Q9BZX2, ADA33, FIBG, Q16836, CASP3, RAC1, Q96C86, APAF, GMPR1, RAB5A, RASH, PNMT, P50135, P10114, Q8TEK3, O76054, Q03518, Q9Y689, DAPK1, P35558, PPARD, Q969G6, CATB, EPCR, SIRT5, P35270, AMYP, Q9D4P0, GSTT2, FKBP3, MAOA, APP, EP300, PTGES, TLR9, TOP2A, GLO1, NFE2L2, ALOX5, PTGS1, IKBKG IKBKB, CHUK, EGFR, HSD17B3, STAT3, HSD11B1, AKT1, GSK3B, CA7, CA6, CA12, CA14, CA9, CA5A, ABCC1, CHEK1, PDK1, WEE1, TOP1, RAF1, BRAF, CA2, CA1, GCGR, MMP14, AURKB, SERPINE1, RPS6KB1, AURKA, CDK2 CCNA1 CCNA2, TYR, AGTR1, NOX4, BMP1, MMP13, ADAM17, CELA1, PREP, GRIK1, MMP8, CXCR2, ALPL, MELK, MPDH1, IMPDH2, CFD, SPHK2, SPHK1, MAP3K12, BCL2, THRA, THR, CSF1R, ALOX5AP, NCOR2 HDAC3, SGK1, DPP4, DPP7, HSP90AB1, ADAM10, MMP3, CDK5R1, CDK5, KCNH2, HPGD, JAK1, JAK2, HDAC10, MMP16, MMP12, YWHAG, LIPC, LIPG, WDR5, HTR1A, MMP9, ANPEP, QPCT, CA13, CA5B, MMP7, GRIK2, ST3GAL3, FUT7, FUT4, F3 F7, GRM2, P2RY12, PSEN1 APH1B, PTGS2, TNF |
| Berberine target genes involved in ovarian cancer | ESR1, STAT1, CDK1, RXRA, CCNB1, PGR, PIK3CA, CHEK1, PIK3R1, PIK3CG, KIT, NR1H4, PIK3CD, PPARD, RXRB, AURKB, HMOX1, INSR, NR1H3, XIAP, CDK9, ERBB4, GSTP1, HCK, KIF11, SCD, TYMS, ATR, DHFR, FABP4, LRRK2, NOS3, NR3C2, PRKACA, FABP6, MMP3, RARB, BMP2, DAPK1, GSTM1, MAOB, CYP27B1, RARG, RPS27, AGPAT2, CYP11B2, GRK2, GSTM2, OAT, SETD7, GABRB3 ,GRK5 ,HINT1 ,HTR3A ,MAP4K4 ,PTGES ,RORA ,SAE1, TBXAS1 |

جدول ۲- ۱۰ ژن هاب هدف بربرین در سرطان تخدمان با بیشترین درجه اتصال در شبکه PPI

Table 2. 10 berberine target hub genes in ovarian cancer with the highest degree of connection in the PPI network

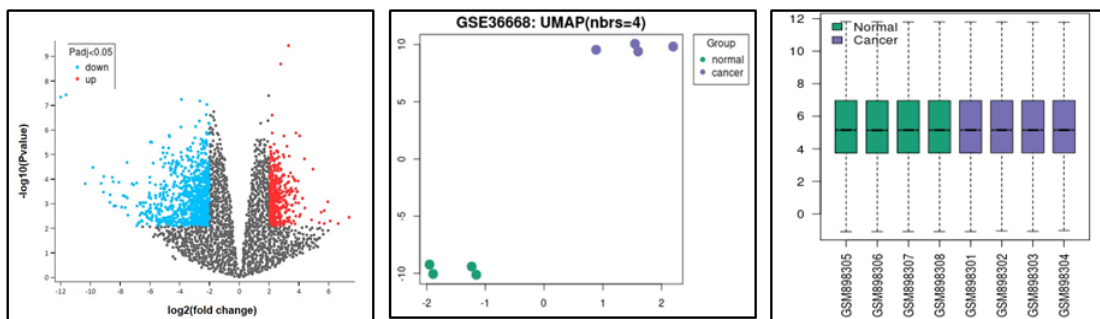
| Gene symbol | Degree |
|-------------|--------|
| ESR1 | 25 |
| STAT1 | 20 |
| CDK1 | 15 |
| PIK3CA | 13 |
| RXRA | 15 |
| PGR | 13 |
| CCNB1 | 13 |
| CHEK1 | 12 |
| PIK3R1 | 11 |
| PIK3CG | 10 |

جدول ۳- ژن‌های هدف بالقوه بربرین که در مسیرهای مرتبط با سرطان تخمدان نقش دارند.

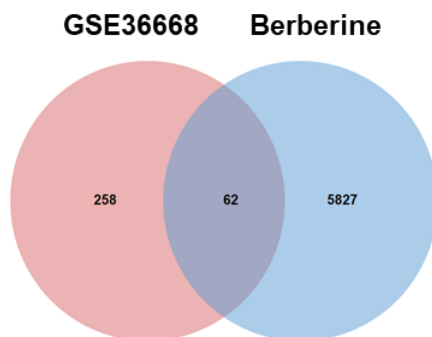
Table 3. Berberine potential target genes that are involved in pathways related to ovarian cancer

| Pathways | Potential target genes involved in significant pathways | Combined score | Adjusted p |
|---|---|----------------|------------|
| Pathways in cancer | PIK3CA, PIK3CD, MAPK10, PTGS2, KIT, GSTM2, GSTM1, DAPK1, STAT1, GSTP1, ESR1, RXRB, BMP2, RXRA, RARB, HMOX1, PRKACA, PPARD | 575.53 | 2.564e-13 |
| Chemical carcinogenesis | GSTM2, GSTM1, VDR, GSTP1, PIK3CD, XIAP, PIK3R1, ESR1, RXRA, PIK3CA, PGR, PRKACA | 662.94 | 3.758e-11 |
| Fluid shear stress and atherosclerosis | MAPK10, GSTM2, GSTM1, PIK3CA, NOS3, GSTP1, PIK3CD, HMOX1, PIK3R1 | 557.89 | 2.998e-8 |
| Progesterone-mediated oocyte maturation | MAPK10, CCNB1, PIK3CA, CDK1, PIK3CD, PGR, PIK3R1, PRKACA | 669.60 | 4.135e-8 |
| PPAR signaling pathway | RXRB, RXRA, SCD, FABP4, NR1H3, FABP6, PPARD | 741.18 | 1.235e-7 |

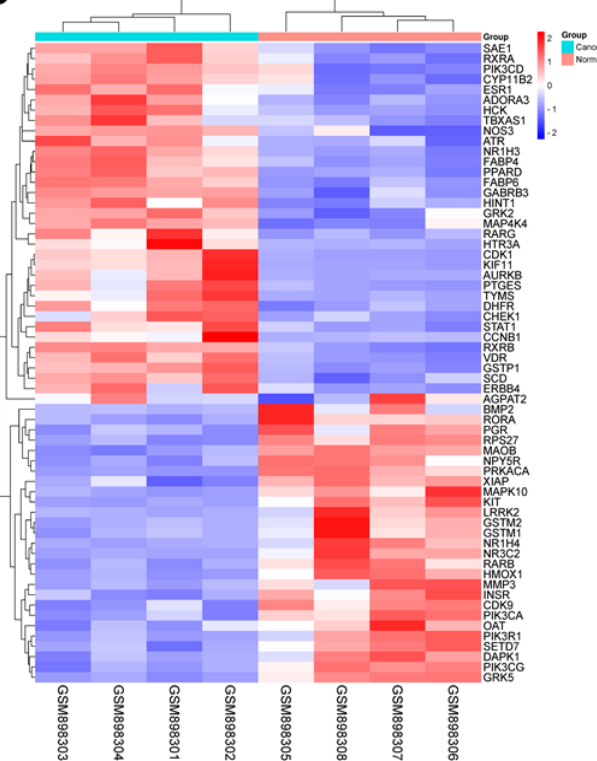
A



B

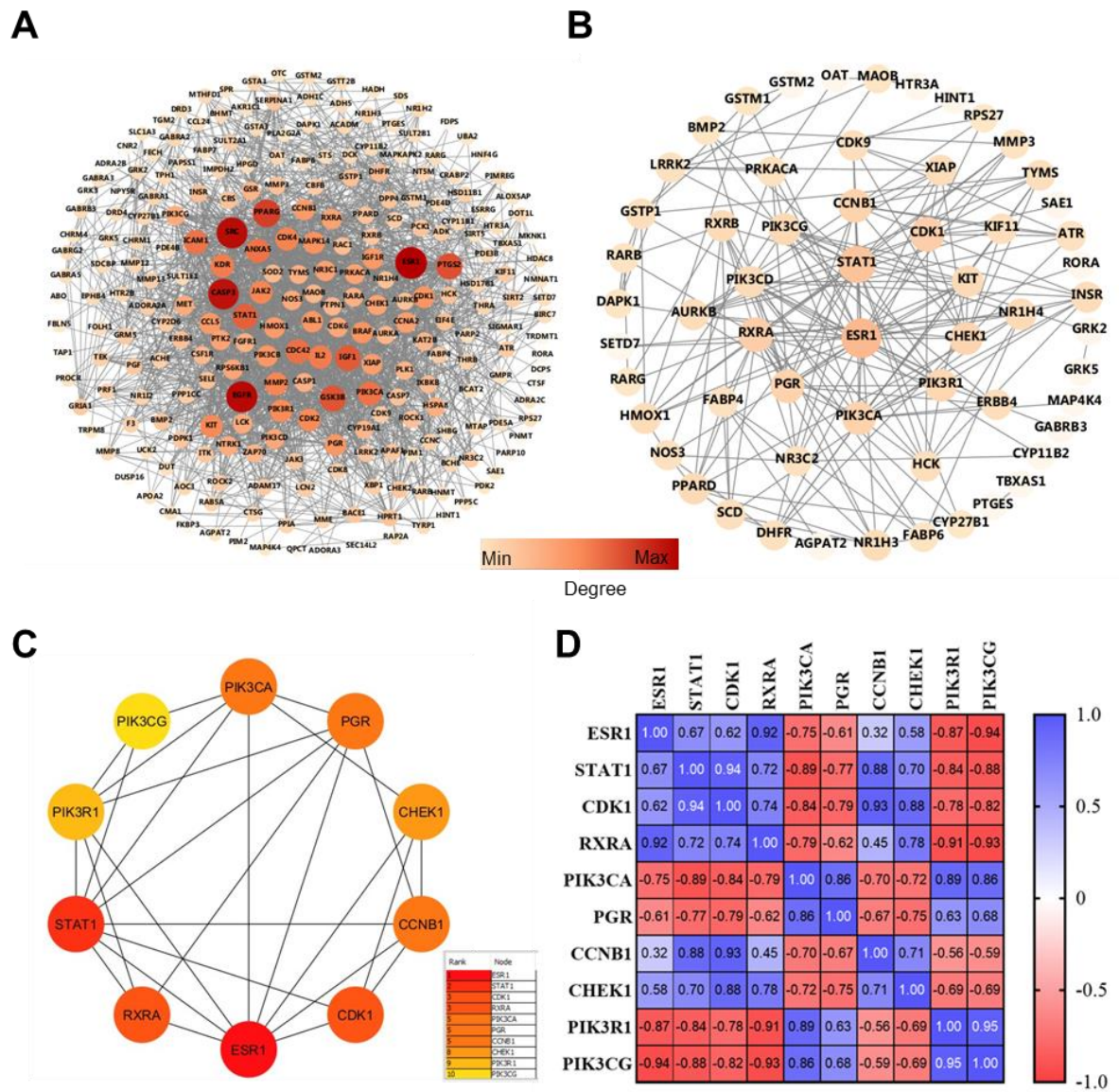


C



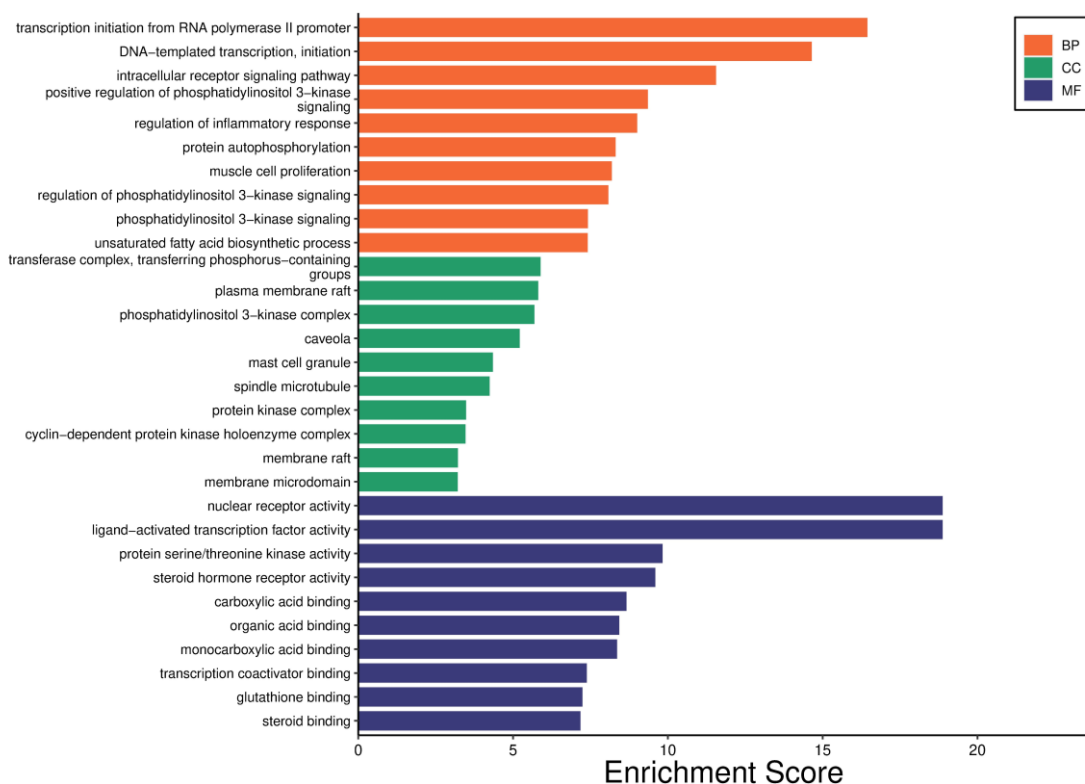
شکل ۲-۲: A: نمودارهای آتشقسانی، UMAP و جعبه‌ای داده‌های بیانی نمونه‌های انتخاب شده از مطالعه‌ی GSE36668. B: نمودار ون ژن‌های مشترک بین اهداف بربرین و ژن‌های دارای بیان افتراقی در سرطان تخم‌دان. C: نمودار حرارتی ژن‌های موثر بربرین و سرطان تخم‌دان.

Figure 2. A: Volcano plot, UMAP plot and boxplots of expression data of selected samples from GSE36668 dataset. B: Venn diagram of shared genes between Berberine targets and differentially expressed genes in ovarian cancer. C: Heatmap of Berberine target genes and ovarian cancer.



شکل ۳-۳: شبکه PPI مربوط به ۳۱۹ مورد زن هدف بربین. گره دایره‌ای نشان‌دهنده هر پروتئین است، هر چه اندازه گره بزرگتر باشد و رنگ آن تیره‌تر باشد مقدار درجه بالاتر است. B: شبکه PPI مربوط به ۶۲ زن هدف بربین در سرطان تخمدان. C: شبکه PPI زن‌های هاب هدف بربین در سرطان تخمدان. D: نمودار همبستگی برای ۱۰ زن هاب مورد هدف بربین در سرطان تخمدان.

Fig 3. A: PPI network related to 319 Berberine target genes. A circular node represents each protein, the larger the node size and the darker the color, the higher the degree value. B: PPI network of 62 Berberine target genes in ovarian cancer. C: PPI network of Berberine target genes in ovarian cancer. D: Correlation plot for 10 hub genes targeted by Berberine in ovarian cancer.



شکل ۴- بررسی آنتولوژی ژن‌های مشترک بربیرین در سرطان تخمدان به ترتیب در سه بخش BP و CC و MF

Fig 4. Gene ontology review of Berberine common genes in ovarian cancer, respectively, in three sections BP, CC and MF.

بحث

ابزارهای بیوانفورماتیکی امکان شناسایی اهداف برای تشخیص، درمان و پیش‌آگهی تومورها را فراهم می‌کند (۵۲). فارماکولوژی شبکه می‌تواند به پیش‌بینی شناسایی ژن‌های هدف و مسیرهای سیگنال‌دهی مرتبط بپردازد و در ادامه به انجام آزمایشات به صورت کلینیکی کمک کند (۴۷). در مطالعه‌ای مکانیسم دارویی OP-B که سرطان تخمدان را مهار می‌کند با ترکیبی از پیش‌بینی فارماکولوژی شبکه و اعتبارسنجی تجربی مورد بررسی قرار گرفت. مطالعه آن‌ها برای اولین بار نشان داد که OP-B می‌تواند به طور موثر تکثیر سلولی و مهاجرت را در سرطان تخمدان سرکوب کند و همچنین باعث آپوپتوز و توقف چرخه سلولی عمدتاً از طریق تنظیم مسیر سیگنال‌دهی STAT3 شود (۵۳). ده ژن هاب به دست آمده از نتایج حاصل از این مطالعه شامل ESR1

میزان مرگ و میر مرتبط با سرطان تخمدان بالاترین رتبه را در میان سرطان‌های بدخیم زنانه دارد. با این حال، علت و رویدادهای مولکولی زمینه‌ای سرطان تخمدان مشخص نیست (۲۸). علی‌رغم پیشرفت در درمان جراحی و پزشکی، مرگ و میر کلی سرطان تخمدان تا حد زیادی در دهه‌های گذشته بدون تغییر باقی مانده است. کشنده بودن سرطان تخمدان عمدتاً به دلیل مشکلات در تشخیص آن در مراحل اولیه و عدم درمان مؤثر برای بیماران با وضعیت پیشرفتی است (۴). بنابراین، درک عوامل و مکانیسم‌های پیشرفت سرطان تخمدان برای بهبود میزان بقا و پیشگیری ضروری است. اخیراً، بیوانفورماتیک به سرعت در حال توسعه است و به طور گستردگی برای آشکار کردن تغییرات ژنتیکی عمومی در پیشرفت سرطان‌ها استفاده می‌شود. استفاده از این

مهارکننده‌های CDK (CKI) و سیکلین‌ها تنظیم می‌شود. به طور کلی، سیکلین‌ها و CKI‌ها به ترتیب فعال سازی CDK را ترویج و مهار می‌کنند (۴۲). از آنجایی که سرطان معمولاً شامل اختلال در تنظیم چرخه سلولی می‌شود، سیکلین‌ها و CKI‌ها با استفاده از مولکول‌های کوچک، پیتیدها، ایمونوتراپی و در انواع تومورها مورد هدف قرار گرفته‌اند (۴۶). اگرچه بسیاری از مطالعات ارزیابی درمان‌های هدفمند CDK در سرطان تخدمان در مراحل اولیه بالینی هستند، شواهد قابل توجهی وجود دارد که هدف قرار دادن CDK‌ها، به ویژه در ترکیب با داروهای سنتی مبتنی بر پلاتین، می‌تواند اثربخشی قابل توجهی در سرطان تخدمان داشته باشد. با این وجود، قبل از اینکه بتوان این عوامل را در انسان بررسی کرد، توسعه پیش بالینی اضافی مورد نیاز است، از جمله استفاده از مدل‌های تومور داخل بدن و مطالعات اضافی در مورد مکانیسم اثر آنها (۵۱). RXRA مخفف Retinoid X Receptor Alpha است که ژنی است که پروتئین آلفا گیرنده رتینوئید X را کد می‌کند. RXRA یک گیرنده هسته‌ای است که با سایر گیرنده‌های هسته‌ای، مانند گیرنده‌های اسید رتینوئیک (RARs) و گیرنده‌های فعال شده با تکثیر پراکسی زوم (PPARs) هترودایمر تشکیل می‌دهد. این هترودایمراها نقش اساسی در تنظیم بیان ژن در پاسخ به مولکول‌های سیگنال دهنده مختلف از جمله رتینوئیک اسید و اسیدهای چرب دارند همانطور که در تحلیل مسیرهای سیگنال دهنده بdst آمده مشاهده شد (۴۱). مولکول‌های سیگنال دهنده مختلف مانند اسید رتینوئیک می‌تواند تمایز را القا کند و از رشد سلول‌های سرطانی تخدمان جلوگیری کند و رتینوئیک اسید همچنین ممکن است بیان ژن مربوط به تکثیر سلولی و آپوپتوز در سلول‌های سرطان تخدمان را تنظیم کند اسیدهای چرب می‌توانند از طریق تغییرات متابولیسم اسیدهای

PGR، PIK3CA، RXRA، CDK1، STAT1، PIK3CG و PIK3R1، CCNB1، CHEK1، ESR1 مخفف گیرنده استروژن ۱ است که پروتئین گیرنده استروژن آلفا (ERα) را کد می‌کند. ERα یک گیرنده هورمونی هسته‌ای می‌باشد که نقش مهمی در میانجی‌گری اثرات استروژن در بافت‌های هدف دارد (۶). ESRI به عنوان یک فاکتور رونویسی عمل کرده و بیان ژن‌های دخیل در فرایندهای فیزیولوژیکی مختلف از جمله رشد، تمایز و توسعه سلولی را تنظیم می‌کند. جهش یا اختلال در تنظیم این ژن و محصول پروتئینی آن، ERα، با چندین بیماری از جمله سرطان سینه مرتبط است (۱۲). گیرنده استروژن، عملکردی در زیرگروه‌های انتخابی سرطان تخدمان دارد و نشان‌دهنده یک هدف بالقوه برای درمان است که با نتایج انتولوژی مولکولی و زیستی بدست آمده سازگاری دارد. اکثریت (بیش از ۸۰٪) کارسینومهای سروروز درجه بالا، سروز درجه پایین و آندومتریوئید و بسیاری از تومورهای سلولی گرانولولزا ERα را بیان می‌کنند (۵). هدف بعدی مبدل سیگنال و فعال کننده رونویسی ۱ (STAT1) یک پروتئین مبدل است و به عنوان یک فاکتور رونویسی عمل می‌کند که با نتایج انتولوژی زیستی و سلولی مرتبط بدست آمده سازگاری دارد، اما نقش آن در سرطان تخدمان به طور کامل شناخته نشده است. عملاً، اثرات دو وجهی STAT1 بر تومورزایی در انواع مختلف سرطان وجود دارد (۵۴). شواهد موجود نشان می‌دهد که STAT1 دارای عملکردهای سرکوب‌کننده و ارتقا دهنده تومور است که در رگزایی، تکثیر سلولی، مهاجرت، تهاجم، آپوپتوز، مقاومت دارویی، ساقه و پاسخهای ایمنی عمده‌ای از طریق تعامل و تنظیم ژن‌های هدف در سطوح مختلف نقش دارند (۲۴). CDK1 یکی از کینازهای وابسته به سیکلین (CDKs) خانواده‌ای از کینازهای سرین/ترؤونین هستند که فعالیت آنها توسط

گیرنده‌های پروژسترون در سلول‌های سرطان تخمدان می‌تواند بر رشد، بقا و پاسخ آنها به درمان‌های هورمونی تأثیر بگذارد (۳۲). CCB1، همچنین به عنوان Cyclin B1 شناخته می‌شود، پروتئینی است که در تنظیم چرخه سلولی نقش دارد. در زمینه سرطان تخمدان، CCB1 نقش مهمی در ترویج تقسیم و تکثیر سلولی دارد. بیان نابجای CCB1 در سرطان‌های مختلف از جمله سرطان تخمدان مشاهده شده است که می‌تواند به رشد و پیشرفت تومور کمک کند. مطالعات تحقیقاتی نشان داده‌اند که سطوح بالای بیان CCB1 در سلول‌های سرطانی تخمدان با رفتار تهاجمی تومور، پیش‌آگهی ضعیف و مقاومت در برابر شیمی‌درمانی مرتبط است. مهار CCB1 به عنوان یک استراتژی درمانی بالقوه برای هدف قرار دادن سلول‌های سرطان تخمدان و افزایش نتایج درمان پیشنهاد شده است (۱۵).

CHEK1 که به نام Checkpoint Kinase 1 است که در مسیر پاسخ آسیب DNA نقش دارد. در زمینه سرطان تخمدان، CHEK1 نقش مهمی در حفظ ثبات ژنومی و تنظیم پیشرفت چرخه سلولی در پاسخ به آسیب DNA ایفا می‌کند (۳۴).

مطالعات تحقیقاتی نشان داده‌اند که بیان CHEK1 در برخی از سلول‌های سرطانی تخمدان افزایش یافته است و بیان بیش از حد آن با رشد تومور، بقا و مقاومت در برابر شیمی درمانی مرتبط است. مهار CHEK1 به عنوان یک استراتژی درمانی بالقوه برای حساس کردن سلول‌های سرطانی تخمدان به شیمی درمانی و افزایش نتایج درمان برسی شده است (۱۶).

PIK3R1 که به عنوان زیر واحد تنظیم کننده فسفوئینوزیتید-۳-کیناز نیز شناخته می‌شود، یک زیر واحد تنظیم کننده آنزیم فسفوئینوزیتید-۳-کیناز (PI3K) است. در سرطان تخمدان، تغییرات در مسیر PI3K، از جمله جهش یا اختلال در تنظیم PIK3R1، می‌تواند نقش مهمی در

چرب می‌تواند بر رشد، تکثیر و متاستاز سلول‌های سرطانی تخمدان تأثیر بگذارد (۵۵). PIK3CA مخفف Phosphatidylinositol-4,5-bisphosphate 3-kinase زیر واحد کاتالیزوری آلفا است. این ژنی است که زیر واحد کاتالیزوری p110α فسفاتیدیل ۳-کیناز (PI3K) را کد می‌کند. PIK3CA یک جزء حیاتی از مسیر PI3K است که در تنظیم فرایندهای سلولی مختلف از جمله رشد سلولی، تکثیر، بقا و متابولیسم نقش دارد (۴۴).

جهش در ژن PIK3CA معمولاً در انواع مختلف سرطان از جمله سرطان تخمدان یافت می‌شود. این جهش‌ها می‌توانند منجر به اختلال در تنظیم مسیر PI3K و در نتیجه رشد و بقای سلولی کنترل نشده شود. در سرطان تخمدان، جهش‌های PIK3CA با پیشرفت تومور، مقاومت در برابر درمان و پیش‌آگهی ضعیف مرتبط است. در سرطان تخمدان، جهش‌های PIK3CA با پیشرفت تومور، مقاومت در برابر شیمی‌درمانی و پیش‌آگهی ضعیف همراه است.

هدف قرار دادن مسیر PI3K/AKT/mTOR به دلیل جهش‌های PIK3CA بی نظم است، به عنوان یک استراتژی درمانی بالقوه در درمان سرطان تخمدان ظاهر شده است (۱۸، ۴۵).

PGR مخفف Progesterone Receptor توسط ژن PGR کدگذاری می‌شود. گیرنده‌های پروژسترون نقش مهمی در واسطه‌سازی اثرات پروژسترون، یک هورمون جنسی زنانه، در بافت‌های هدف دارند که با نتایج انتولوژی و مسیرهای سیگنال‌دهی بدست آمده سازگاری دارد (۱).

در زمینه سرطان تخمدان، بیان گیرنده‌های پروژسترون می‌تواند بر رفتار تومور و پاسخ به درمان تأثیر بگذارد.

تحقیقات نشان می‌دهد که گیرنده‌های پروژسترون ممکن است در برخی از سرطان‌های تخمدان، بهویژه در زیرگروه‌های خاصی مانند سرطان تخمدان آندومتریوئید وجود داشته باشد. وجود یا عدم وجود

دارویی در این بیماری چالش برانگیز غلبه کند، بسیار مهم است.

نتیجه‌گیری

این مطالعه نشان می‌دهد که بربرین با تاثیر روی رشد، تکثیر و بقای سلول، رگ‌زایی، مهاجرت، تهاجم، آپوپتوز، مقاومت دارویی و پاسخ‌های ایمنی می‌تواند در درمان سرطان تخمدان با هدف قرار دادن ژن‌های دخیل در سرطان تخمدان استفاده شود، با این حال برای درک کامل نحوه عملکرد آن به تأیید بیشتر به وسیله مطالعات بالینی نیاز است.

تشکر و قدردانی

این پژوهش در دانشگاه شهید بهشتی انجام شده است و بدینوسیله از کلیه پرسنل مربوطه قدردانی می‌شود.

منابع

1. Akison L.K, Robker R.L. 2012. The critical roles of progesterone receptor (PGR) in ovulation, oocyte developmental competence and oviductal transport in mammalian reproduction. *Reproduction in Domestic Animals*, 47 Suppl 4:288-96.
2. Campbell I.G, Russell S.E., Choong D.Y., Montgomery K.G., Ciavarella M.L., Hooi C.S. 2004. Mutation of the PIK3CA gene in ovarian and breast cancer. *Cancer research*, 64(21):7678-81.
3. Chu S.C, Yu C.C, Hsu L.S, Chen K-S, Su M.Y, Chen P.N. 2014. Berberine reverses epithelial-to-mesenchymal transition and inhibits metastasis and tumor-induced angiogenesis in human cervical cancer cells. *Molecular pharmacology*, 86(6):609-23.
4. Colombo N, Van Gorp T, Parma G, Amant F, Gatta G, Sessa C, Vergote I. 2006. Ovarian cancer. *Critical reviews in oncology/hematology*, 60(2):159-79.

توسعه و پیشرفت تومور داشته باشد (۴۳). PIK3CG همچنین به عنوان گاما زیر واحد کاتالیزوری فسفاتیدیل ۴،۵-بیس فسفات-۳-کیناز شناخته می‌شود، ژنی است که زیر واحد کاتالیزوری p110 γ فسفوئینوزیتید ۳-کیناز (PI3K) را کد می‌کند. PI3K در مسیر سیگنالینگ PI3K نقش دارد که نقش مهمی در تنظیم فرآیندهای سلولی مختلف از جمله رشد، تکثیر و بقای سلول دارد (۳۶). مطالعات تحقیقاتی نشان داده‌اند که جهش یا تغییر در بیان PIK3CG و PIK3R1 می‌توانند منجر به فعال‌سازی نابجای مسیر PI3K در سلول‌های سرطان تخمدان شوند. این فعال‌سازی می‌تواند باعث رشد، بقا و تهاجم سلولی شود و به تهاجمی تومور و مقاومت در برابر درمان کمک کند (۲۹). نتایج حاصل از آنالیزهای انجام شده به وضوح نشان می‌دهد که چندین مسیر توسط بربرین در سرطان تخمدان تنظیم می‌شوند، ژن‌های مرتبط با سرطان تخمدان و فاکتورها و عوامل ایمنی‌شناسی مرتبط مختلف به طور مداوم و به شدت تنظیم مجدد شده‌اند. در تجزیه و تحلیل این مسیرها همچنین مشاهده شد که ژن‌های بدست آمده در رشد، تکثیر و بقای سلول، رگ‌زایی، تکثیر سلولی، مهاجرت، تهاجم، آپوپتوز، مقاومت دارویی و پاسخ‌های ایمنی درگیر می‌باشند. در مجموع، در این مطالعه حدود ۶۲ ژن توسط آنالیز دو گروه ژنی بدست آمد. با این حال، حدوداً در تمام اهداف مشترک شواهد زیادی در مطالعات دیگر وجود داشت که نشان می‌داد آن‌ها در فرایند بیماری سرطان تخمدان از طریق فاکتورها و عوامل و مسیرهای مبتنی بر فرایندهای سلولی، مولکولی و زیستی نقش مهمی را ایفا می‌کنند. درک نقش ژن‌های بدست آمده در سرطان تخمدان برای توسعه درمان‌های هدفمندی که می‌تواند نتایج بیمار را بهبود بخشد و بر مقاومت

13. Jia A., Xu L., Wang Y. 2021. Venn diagrams in bioinformatics. *Briefings in bioinformatics*, 22(5):bbab108.
14. Jie S., Li H., Tian Y., Guo D., Zhu J., Gao S., Jiang L. 2011. Berberine inhibits angiogenic potential of Hep G2 cell line through VEGF down□regulation in vitro. *Journal of gastroenterology and hepatology*, 26(1):179-85.
15. Kang E.Y., Weir A., Meagher N.S., Farrington K., Nelson G.S., Ghatare P. 2023. CCNE1 and survival of patients with tubo-ovarian high-grade serous carcinoma: An Ovarian Tumor Tissue Analysis consortium study. *Cancer*, 129(5):697-713.
16. Kim M.K., James J., Annunziata C.M. 2015. Topotecan synergizes with CHEK1 (CHK1) inhibitor to induce apoptosis in ovarian cancer cells. *BMC Cancer*, 15:196.
17. Kim S., Chen J., Cheng T., Gindulyte A., He J., He S., Li Q., Shoemaker B.A., Thiessen P. A., Yu B., Zaslavsky L., Zhang J., Bolton E.E. (2023). PubChem 2023 update. *Nucleic Acids Research*, 51(D1), D1373–D1380.
18. Kolasa I.K., Rembiszewska A., Felisiak A., Ziolkowska-Seta I., Murawska M., Moes J. 2009. PIK3CA amplification associates with resistance to chemotherapy in ovarian cancer patients. *Cancer biology & therapy*, 8(1):21-6.
19. Kubeček O., Laco J., Špaček J., Petera J., Kopecký J., Kubečková A., Filip S. 2017. The pathogenesis, diagnosis, and management of metastatic tumors to the ovary: a comprehensive review. *Clinical & experimental metastasis*, 34(5):295-307.
20. Kuleshov M.V., Jones M.R., Rouillard A.D., Fernandez N.F., Duan Q., Wang Z. 2016. Enrichr: a comprehensive gene set enrichment analysis web server 2016 update. *Nucleic acids research*, 44(W1):W90-W7.
21. Lee A.Y., Park W., Kang T.W., Cha MH., Chun J.M. 2018. Network
5. Doherty J.A., Rossing M.A., Cushing-Haugen K.L., Chen C., Van Den Berg D.J., Wu A.H. 2010. ESR1/SYNE1 polymorphism and invasive epithelial ovarian cancer risk: an Ovarian Cancer Association Consortium study. *Cancer epidemiology, biomarkers & prevention*, 19(1):245-50.
6. Dustin D., Gu G., Fuqua S.A. 2019. ESR1 mutations in breast cancer. *Cancer*, 125(21):3714-28.
7. Eissa L.A., Kenawy H.I., El-Karef A., Elsherbiny N.M., El-Mihi K.A. 2018. Antioxidant and anti-inflammatory activities of berberine attenuate hepatic fibrosis induced by thioacetamide injection in rats. *Chemico-biological interactions*, 294:91-100.
8. Elgaaen B.V., Olstad O.K., Sandvik L., Ødegaard E., Sauer T., Staff A.C., Gautvik K.M. 2012. ZNF385B and VEGFA are strongly differentially expressed in serous ovarian carcinomas and correlate with survival. *PLOS ONE*, 7(9):46317-46326
9. Gfeller D., Grosdidier A., Wirth M., Daina A., Michelin O., Zoete V. 2014. SwissTargetPrediction: a web server for target prediction of bioactive small molecules. *Nucleic acids research*, 42(W1):W32-W8.
10. Jahagirdar D., Gore CR., Patel H., Maria K., Tandon I., Sharma NK. 2018. Induction of apoptotic death and cell cycle arrest in HeLa cells by extracellular factors of breast cancer cells. *Asian Pacific Journal of Cancer Prevention: APJCP*, 19(12):3307.
11. Jeong S.Y., Seol D.W. 2008. The role of mitochondria in apoptosis. *BMB reports*, 41(1):11-22.
12. Jeselsohn R., Buchwalter G., De Angelis C., Brown M., Schiff R. 2015. ESR1 mutations—a mechanism for acquired endocrine resistance in breast cancer. *Nature reviews Clinical oncology*, 12(10):573-83.

- Kinase Inhibitors: *Academic Press*, p. 97-127.
30. Natanzon Y., Goode E.L., Cunningham J.M. 2018. Epigenetics in ovarian cancer. *Seminars in cancer biology; Elsevier*.
31. Okubo S., Uto T., Goto A., Tanaka H., Nishioku T., Yamada K., Shoyama Y. 2017. Berberine induces apoptotic cell death via activation of caspase-3 and -8 in HL-60 human leukemia cells: nuclear localization and structure–activity relationships. *The American Journal of Chinese Medicine*, 45(07):1497-511.
32. Peluso J.J., Liu X., Saunders M.M., Claffey K.P., Phoenix K. 2008. Regulation of ovarian cancer cell viability and sensitivity to cisplatin by progesterone receptor membrane component-1. *The Journal of Clinical Endocrinology & Metabolism*, 93(5):1592-9.
33. Qi H.W., Xin L.y., Xu X., Ji X.X., Fan L.H. 2014. Epithelial-to-mesenchymal transition markers to predict response of Berberine in suppressing lung cancer invasion and metastasis. *Journal of translational medicine*, 12:1-10.
34. Ranuncolo S.M., Polo J.M., Melnick A. 2008. BCL6 represses CHEK1 and suppresses DNA damage pathways in normal and malignant B-cells. *Blood cells, molecules, and diseases*, 41(1):95-9.
35. Rosenfield R.L. 2015. The polycystic ovary morphology-polycystic ovary syndrome spectrum. *Journal of pediatric and adolescent gynecology*, 28(6):412-9.
36. Semba S., Itoh N., Ito M., Youssef E.M., Harada M., Moriya T. 2002. Down-regulation of PIK3CG, a catalytic subunit of phosphatidylinositol 3-OH kinase, by CpG hypermethylation in human colorectal carcinoma. *Clin Cancer Research*, 8(12):3824-31.
37. Shameer K., Badgeley M.A., Miotti R., Glicksberg B.S., Morgan J.W., Dudley J.T. 2017. Translational bioinformatics in the pharmacology-based prediction of active compounds and molecular targets in Yijin-Tang acting on hyperlipidaemia and atherosclerosis. *Journal of ethnopharmacology*, 221:151-9.
22. Lengyel E. 2010. Ovarian cancer development and metastasis. *The American journal of pathology*, 177(3):1053-64.
23. Li H., Guo L., Jie S., Liu W., Zhu J., Du W. 2008. Berberine inhibits SDF-1-induced AML cells and leukemic stem cells migration via regulation of SDF-1 level in bone marrow stromal cells. *Biomedicine & Pharmacotherapy*, 62(9):573-8.
24. Li X., Wang F., Xu X., Zhang J., Xu G. 2021. The dual role of STAT1 in ovarian cancer: insight into molecular mechanisms and application potentials. *Frontiers in Cell and Developmental Biology*, 9:636595.
25. Liu D., Meng X., Luo H. 2019. A natural isoquinoline alkaloid with antitumor activity: studies of the biological activities of berberine. *Frontiers in pharmacology*, 10:437939.
26. Ma W., Zhu M., Zhang D., Yang L., Yang T., Li X., Zhang Y. 2017. Berberine inhibits the proliferation and migration of breast cancer ZR-75-30 cells by targeting Ephrin-B2. *Phytomedicine*, 25:45-51.
27. Matera R., Saif M.W. 2017. New therapeutic directions for advanced pancreatic cancer: cell cycle inhibitors, stromal modifiers and conjugated therapies. *Expert Opinion on Emerging Drugs*, 22(3):223-33.
28. Momenimovahed Z., Tiznobaik A., Taheri S., Salehiniya H. 2019. Ovarian cancer in the world: epidemiology and risk factors. *International journal of women's health*, 287-99.
29. Naqi A., Ara S.A., Khan M.A., Ahmad J. 2022. Chapter 4 - An insight on PI3K/AKT/MTOR inhibitors in cancer: Opportunity and translational perspectives. In: Hassan MI, Noor S, editors. Protein

46. Wang Q., Bode AM, Zhang T. 2023. Targeting CDK1 in cancer: mechanisms and implications. *NPJ precision oncology*, 7(1):58.
47. Wang S., Gao J., Li Q., Ming W., Fu Y., Song L., Qin J. 2020. Study on the regulatory mechanism and experimental verification of icariin for the treatment of ovarian cancer based on network pharmacology. *Journal of ethnopharmacology*, 262:113189.
48. Wang X., Wang N., Li H., Liu M., Cao F., Yu X. 2016. Up-regulation of PAI-1 and down-regulation of uPA are involved in suppression of invasiveness and motility of hepatocellular carcinoma cells by a natural compound berberine. *International Journal of Molecular Sciences*, 17(4):577.
49. Wang Z, Wang Y-y. 2013. Modular pharmacology: deciphering the interacting structural organization of the targeted networks. *Drug discovery today*, 18(11-12):560-6.
50. Xin W., Zi-Yi W., Zheng J-H, Shao L. 2021. TCM network pharmacology: a new trend towards combining computational, experimental and clinical approaches. *Chinese journal of natural medicines*, 19(1):1-11.
51. Yang W., Cho H., Shin H-Y., Chung J-Y., Kang E.S., Lee E.j, Kim J.H. 2016. Accumulation of cytoplasmic Cdk1 is associated with cancer growth and survival rate in epithelial ovarian cancer. *Oncotarget*, 7(31):49481.
52. Yang X, Zhu S, Li L, Zhang L, Xian S, Wang Y, Cheng Y. 2018. Identification of differentially expressed genes and signaling pathways in ovarian cancer by integrated bioinformatics analysis. *OncoTargets and therapy*, 1457-74.
53. Yuan S., Xu Y., Yi T., Wang H. 2022. The anti-tumor effect of OP-B on ovarian cancer in vitro and in vivo, and its mechanism: An investigation using network era of real-time biomedical, health care and wellness data streams. *Briefings in bioinformatics*, 18(1):105-24.
38. Shannon P, Markiel A, Ozier O, Baliga NS, Wang JT, Ramage D, et al. 2003. Cytoscape: a software environment for integrated models of biomolecular interaction networks. *Genome research*, 13(11):2498-504.
39. Szklarczyk D., Franceschini A., Wyder S, Forslund K., Heller D., Huerta-Cepas J. 2015. STRING v10: protein–protein interaction networks, integrated over the tree of life. *Nucleic acids research*, 43(D1):D447-D52.
40. Tang D., Chen M., Huang X., Zhang G., Zeng L., Zhang G. 2023. SRplot: A free online platform for data visualization and graphing. *PLoS One*, 18(11):e0294236.
41. Tontonoz P., Graves R.A., Budavari A.I., Erdjument-Bromage H., Lui M., Hu E. 1994. Adipocyte-specific transcription factor ARF6 is a heterodimeric complex of two nuclear hormone receptors, PPAR γ and RXRa. *Nucleic acids research*, 22(25):5628-34.
42. Ubersax JA, Woodbury EL, Quang PN, Paraz M, Blethroy JD, Shah K, et al. 2003. Targets of the cyclin-dependent kinase Cdk1. *Nature*, 425(6960):859-64.
43. Vallejo-Díaz J., Chagoyen M., Olazabal-Morán M., González-García A., Carrera A.C. 2019. The Opposing Roles of PIK3R1/p85 α and PIK3R2/p85 β in Cancer. *Trends Cancer*, 5(4):233-44.
44. Vivanco I., Sawyers C.L. 2002. The phosphatidylinositol 3-kinase–AKT pathway in human cancer. *Nature Reviews Cancer*, 2(7):489-501.
45. Wang D., Li C, Zhang Y., Wang M., Jiang N., Xiang L. 2016. Combined inhibition of PI3K and PARP is effective in the treatment of ovarian cancer cells with wild-type PIK3CA genes. *Gynecol Oncol*, 142(3):548-56.

55. Zheng S. 2001. The expression of RAR/RXR and RA sensitivity in primary ovarian tumor cells: *Temple University*.
54. Zhang Y., Liu Z. 2017. STAT1 in cancer: friend or foe? *Discovery medicine*, 24(130):19-29.
- pharmacology-based analysis. *Journal of Ethnopharmacology*, 283:114706.